Espectroscopía Gamma de media y alta resolución

Lucas Albornoz - Nahuel Almeira - Paloma Machain -Julio David Melon Fuksman - Pablo Ezequiel Sesin

Introducción a Física de partículas y Física nuclear.

Instituto Balseiro 2014



- Introducción
 - Interacción de radiación con la materia
- 2 Experimento
 - Experimento
- Resultados
 - Calibración de detectores
 - Parangón entre detecciones.
- 4 Bibliografía



- Introducción
 - Interacción de radiación con la materia
- 2 Experimento
 - Experimento
- Resultados
 - Calibración de detectores
 - Parangón entre detecciones.
- 4 Bibliografía



- Introducción
 - Interacción de radiación con la materia
- 2 Experimento
 - Experimento
- Resultados
 - Calibración de detectores
 - Parangón entre detecciones.
- 4 Bibliografía

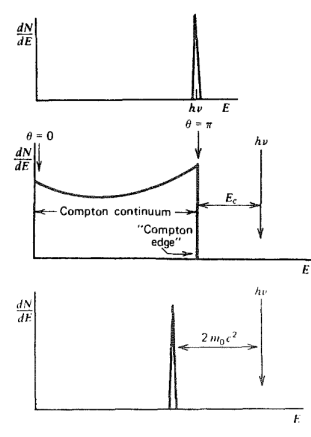


- Introducción
 - Interacción de radiación con la materia
- 2 Experimento
 - Experimento
- Resultados
 - Calibración de detectores
 - Parangón entre detecciones.
- Bibliografía

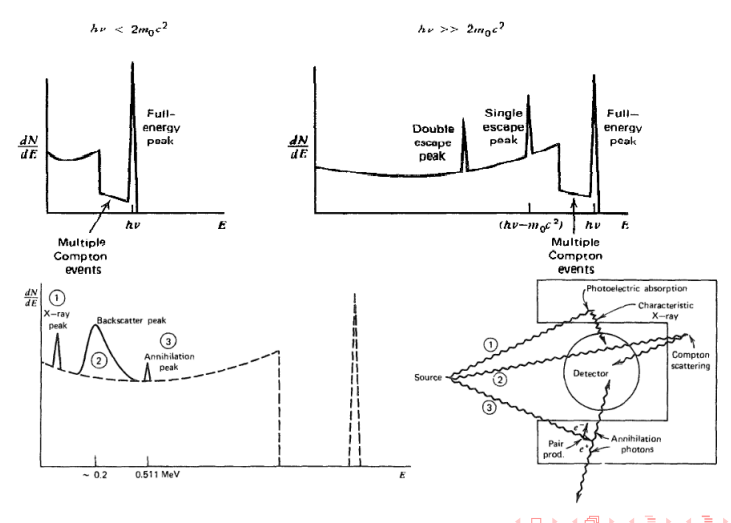


Interacción de radiación con la materia.

- Efecto fotoeléctrico.
- Efecto Compton.
- Creación de pares electrón - positrón.



Respuesta esperada en detectores y efectos del entorno.



Fuentes radiactivas utilizadas.

- ^{60}Co .
- ^{133}Ba .
- ^{137}Cs .
- $^{241}Am^{9}Be$.

Decaimiento ²⁴¹Am ⁹Be

$$\begin{array}{l} ^{241}Am \longrightarrow \ ^{4}\alpha + ^{237}Np^{*} \\ ^{237}Np^{*} \leadsto \gamma_{1}(59\,keV) \leadsto \gamma_{2}(26\,keV) \to \ ^{237}Np. \\ ^{9}Be + ^{4}\alpha \longrightarrow \ ^{13}C^{*} \longrightarrow \ ^{12}C^{*} + n_{r}. \\ ^{12}C^{*} \longrightarrow \ ^{12}C + \gamma_{3}(4,443\,MeV). \\ n_{r} + ^{1}H \longrightarrow ^{2}H^{*} \leadsto \gamma_{4}(2,225\,MeV) \longrightarrow \ ^{2}H. \end{array}$$

Métodos de detección

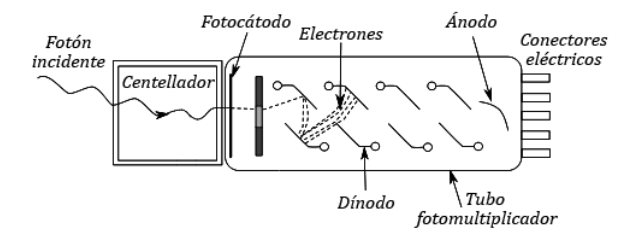


Figura: Detector de Nal(TI) tipo centellador de media resolución.

Métodos de detección

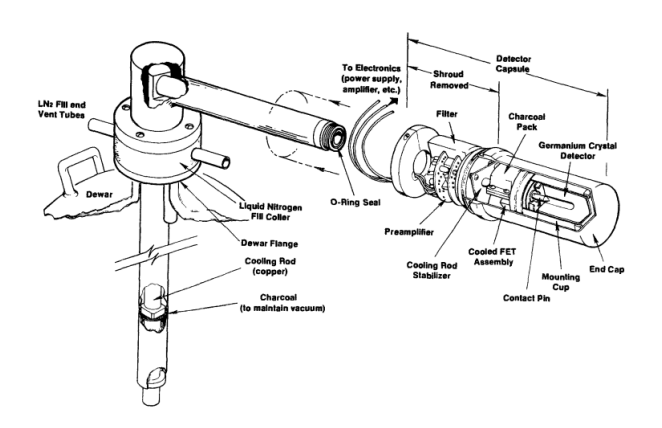


Figura: Detector de GeLi tipo barrera de superficie de alta resolución.



Calibración de los detectores de Nal y GeLi.

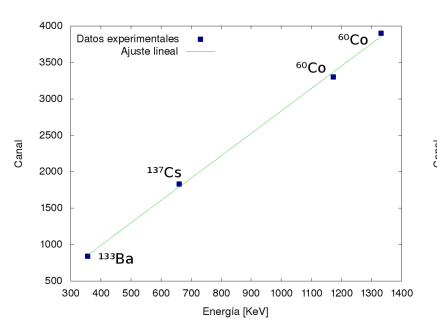


Figura: Calibración Canal-Energía para Nal.

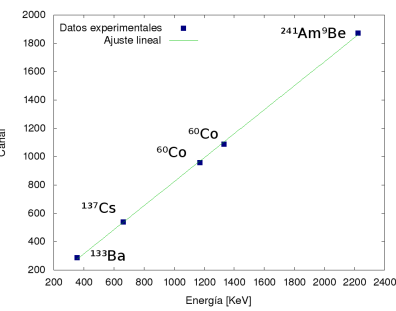
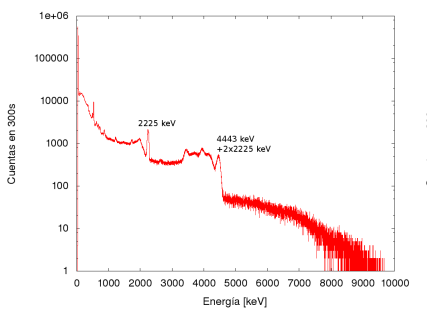


Figura: Calibración Canal-Energía para GeLi.



Espectro de alta resolución de $^{241}Am\,^9Be$.



100000 229 keV 2311 keV7 2511 keV7 2

Figura: Distribución espectral de ^{241}Am ^{9}Be .

Figura: Detalle de ²⁴¹ Am ⁹ Be.



Parangón entre detecciones.

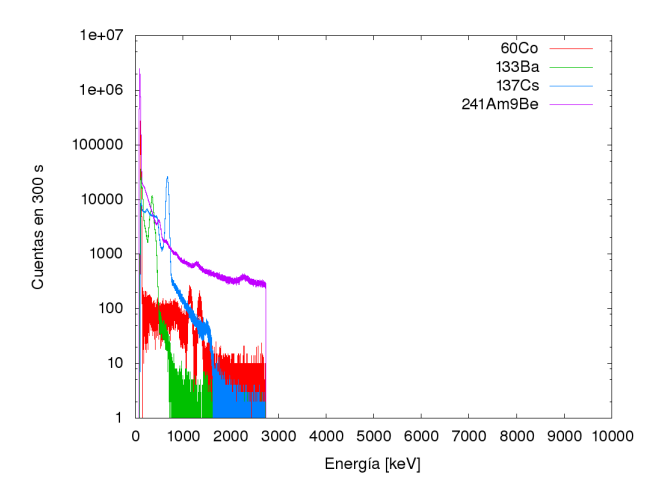


Figura: Espectro medido con detector de Nal (media resolución).

Parangón entre detecciones.

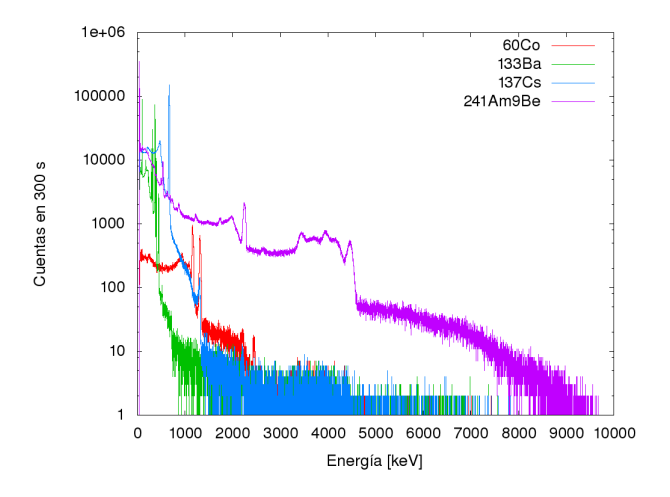


Figura: Espectro medido con detector de Geli (alta-resolución).

Bibliografía.

- G.F. Knoll, Radiation, Detection Measurement, John Willey Sons, pp(292,293,295,297,298).
- P. Machain e.a., Espectroscopía Gamma en fuentes de ^{22}Na , ^{60}Co , ^{133}Ba , ^{137}Cs y ^{152}Eu .

MUCHAS GRACIAS!

